

北海道大学工学部 正員 岸 力

森 明正

正員 平山健一

## (1) 目的と要旨

河川に於りて平均流速を測定する場合、観測値の精度は観測時間に依存する。本文は乱流理論に立脚して、平均流速の観測時間と精度との関係を考察したものである。

平均流速の測定時間と、 $T_*$ の測定で得られた平均流速を $\bar{U}$ とすると、 $\bar{U}$ は真の平均流速のまわりに分布し、その分散は $T_*$ の関数であり、試長変動曲線 $C(T_*)$ で表わされる。 $C(T_*)$ と流速変動の相関関数 $R(C)$ の間に次式の関係がある。

$$C(T_*) = 2u^2 / T_*^2 \int_0^{T_*} (T_* - \tau) R(C) d\tau \quad (1)$$

( $u^2 = C(0)$  : 原変動の分散)

又、 $R(C)$ とパワースペクトラム $E(f)$ の間に以下の関係があつた。

$$R(C) = 1/u^2 \int_0^\infty E(f) \cos 2\pi f \tau d\tau \quad (2)$$

$$E(f) = 4u^2 \int_0^\infty R(C) \cos 2\pi f \tau d\tau \quad (3)$$

したがつて、もし、種々の河川について得られる $R(C)$ 又は $E(f)$ の間に相似性を見い出すことができれば、case study ではなく一般論として平均流速の精度を論ずることが可能になる。

筆者等は、石狩川、新川及び千才川(2地点)で得られた流速変動のパワースペクトラムを解析し、乱れのマクロスケールが流れの水深 $H$ に近似的に比例することを見出した。又うに、河川の乱れを考える時間単位として $H/\bar{U}$ を取れば、河川の幾何学的な規模の違いが消去できて、 $R(C)$ 及び $E(f)$ に相似性が見出された。

流量測定に関する実用的な結論として、観測時間 $T_*$ を $50H/\bar{U}$ 程度にとると $C(T_*)/u^2$ が0.1~0.2となることが示された。

## (2) スペクトラムの形

isotropic turbulence では相関係数は、一般に $T_E$ を integral time scale とすると $e^{-\tau/T_E}$ で近似され、スペクトラムは次式で表わされる。

$$E(f) / 4u^2 T_E = 1 / (1 + 4\pi^2 f^2 T_E) \quad (4)$$

しかし、河川乱流では乱子の size が水深程度の大きさになると anisotropic turbulence を考えられ、一次元スペクトルの勾配の  $-1-5/3$  の間の領域が(4)式で表わされるものより広い領域にわたっているようである。今回筆者等は、スペクトラムの形として次式を用い(4)式と比較した。

$$E(f) / 4u^2 T_E = 4e^{-4fT_E} \quad (5)$$

(1) 式と於いて $R(C)$ が0に収束する時間より $T_*$ が大であれば

$$C(T_*) \cdot T_* \cong C(0) \int_0^\infty R(C) d\tau \quad (6)$$

渦の平均径  $L_x$  と  $T_E$  の間にには (7) 式の関係が仮定される（ティラーの仮定）。

$$L_x = \bar{U} T_E \quad (7)$$

( $L_x$  : 乱れのマクロスケール)

(7) 式を用いれば (6) 式から (8) 式が導かれる。

$$C(T_E) / C(0) \cong 2 L_x / \bar{U} T_E \quad (8)$$

(8) 式によれば、少くとも  $T_E \gg T_*$  の範囲では、 $L_x / \bar{U}$  を時間単位に取れば、 $C(T_E)$  には他の幾何学的スケールが含まれなりことがわかる。これは河川の乱れを一般化する上に重要な関係であろう。

### (3) 解析結果

千才川、新川、石狩川で行なわれた観測の概況を表-1に示す。

表-1

|       | 流速計  | 記録                         | 観測時間 | データ読み取り間隔 | 流量                        | 水面勾配   | 河巾    | 平均水深  | 河床状態 |
|-------|------|----------------------------|------|-----------|---------------------------|--------|-------|-------|------|
| 千才川 A | CM-2 | EPR<br>2T型<br>ホリ<br>レコ-9a- | 60分  | 1.6667秒   | 16.479 <sup>3/4</sup> sec | 1/342  | 35.5m | 0.54m | 砂利   |
| 千才川 B |      |                            | 30   |           | 13.22                     | 1/800  | 23.8  | 0.87  | 砂    |
| 新川    |      |                            | 60   | 1.0       | 3.56                      | 1/2500 | 15.6  | 0.48  | 泥    |
| 石狩川   | アラク  |                            | 10   | 10.0      | 64.11                     |        | 120   | 2.5   |      |

図-1に各地で得られたパワースペクトラムを示す。図中の実線は (6) 式の計算値である。計算曲線は実測値の傾向を良く表わしている。

次に、より簡単な水理量で表わすために  $T_E = L_x / \bar{U}$  のわりに  $H / \bar{U}$  を用いた。 $L_x / H = \alpha / 4 = 1/\beta$  とかけば (4) 及び (5) 式は次式で表わされる。

$$E(f) \bar{U} / u^2 H = \beta / \{ \beta^2 + (2\pi f H / \bar{U}) \}^2 \quad (9)$$

$$E(H) \bar{U} / u^2 H = \alpha e^{-\alpha f H / \bar{U}} \quad (10)$$

図-2に  $L_x / H$  を示す。 $L_x / H$  は  $Z / H$  の増

加とともに増加する傾向がある。新川及び石狩川で得られた値は、千才川の観測値より幾分小なりようである。

図-3は、横軸に  $fH / \bar{U}$  を取ったときのスペクトラムである。太い実線及び実線はそれを (10) 及び (9) 式の計算値で、石狩川、新川には  $\alpha = 12$ ,  $\beta = 1/3$ , 千才川には  $\alpha = 16$ ,  $\beta = 1/4$  を用いた。細い実線は、実測値を一つの曲線で近似したものである。(9) 式と (10) 式の計算値を比較すると、絶対値はあまり違がわせりが、(10) 式の方が実測値の傾向を良く表わしている。

図-1と比較すると、横軸に  $fT_E = fL_x / \bar{U}$  を取った方が実測値により良い近似を示してりるが、これは、 $\alpha, \beta$  が現実には測定値毎に違がうこから当然のことと思われる。しかし、 $C(T_E)$  を計算

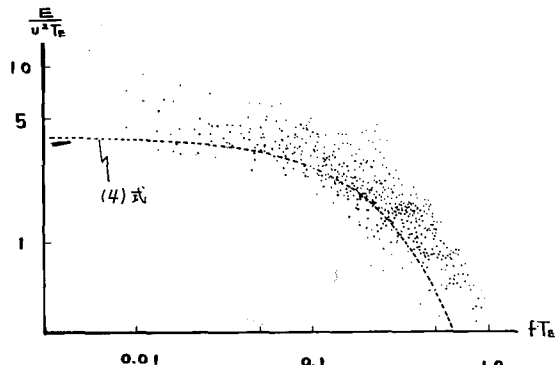


fig-1

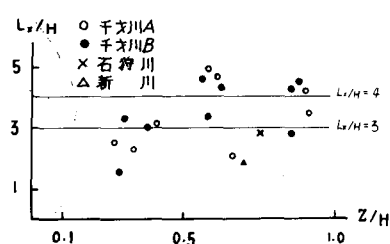


fig-2

するのに多少精度は落ちるが  $T_*$  の代わりに  $H/\bar{U}$  を使うことは可能である。

ペワースペクトラムが (9) 及び (10) 式のとき、 $R(\tau)$  及び  $C(T_*)$  は次式で表わされる。

$$R(\tau) = e^{-\beta \tau^{\frac{1}{H}} / H} \quad (11)$$

$$C(T_*) / C(0) = 2/K^2 \cdot (K + e^{-K} + 1) \quad (12)$$

$$R(\tau) = \alpha^2 / (\alpha^2 + (2\pi \bar{U}/H)^2) \quad (13)$$

$$C(T_*) / C(0) = \frac{3}{8} \cdot \tan^{-1} \tau - \log_e(\tau^2 + 1) / \tau^2 \quad (14)$$

$$\text{但し } K = \beta T_* \bar{U} / H$$

$$\tau = 2\pi / \alpha \cdot T_*$$

図-4は、 $R(\tau)$  の実測値と (11) 及び (12) 式による計算値を比較したもので、図中に示す実線は (11) 式、実線は (13) 式の計算値である。及び  $\beta$  の値は図中に示されている。図を見ると (13) 式の方が (11) 式より良く乱流の構造を表わしているようである。 $T_* \bar{U} / H = 0$  附近での (11) 式と (13) 式の違いは、スペクトラムの勾配が  $fH/\bar{U} \rightarrow \infty$  のとき、前者は -2 となり高周波成分を含み、後者は  $-\infty$  となり高周波成分を含まないことにによる。

図-5は  $C(T_*)$  の実測値と (2) 及び (14) 式による計算値を比較したもので、図中の実線は (12) 式、実線は (14) 式

の計算値である。及び  $\beta$  の値は図中に示されている。両式の計算値にあまり大きな差はない。  $T_* \bar{U} / H = 0$  附近に於ける差は  $R(\tau)$  の場合と同様にスペクトラムの勾配が  $fH/\bar{U} \rightarrow \infty$  の時 (2) 式では -2 になり (14) 式では  $-\infty$  となり、高周波成分に於ける値が違ってくることによる。

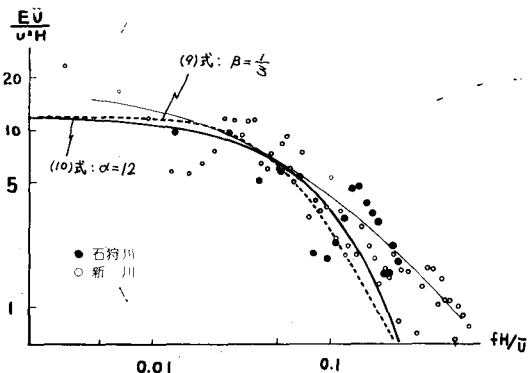


fig 3-a

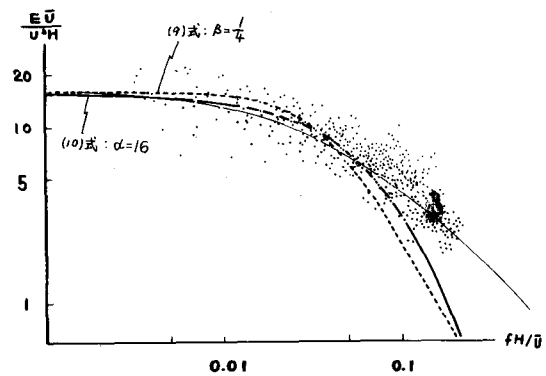


fig 3-b

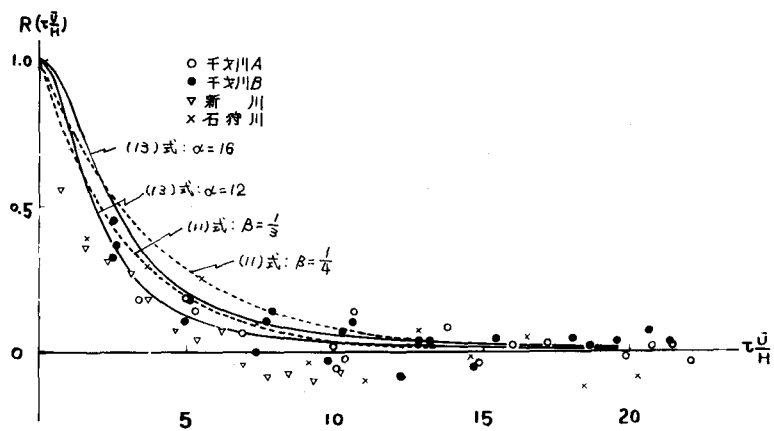


fig 4

計算値は実測値の平均的性質を良く表わしている。しかし、実測値のバラツキは、各測定毎に必ずしも一定ではない。 $Lx/\bar{U}$  を一定値で代表させたことによるものである。

以上、3, 4, 5 図の結果から、スペクトラムに exponential の形 (10), (13), (14) 式) を用いる方が、相関係数に exponential の形、(9), (11), (12) 式) を用いるよりも、良く河川のもし流の構造を表わしていきこむことがわかる。

図-5 に於いて、 $T_* \bar{U} / H$

が 50 からになると実測

値は、計算値と同程度にな

つてなる。 $T_* \bar{U} / H = 100$

で  $\alpha = 12, 16$  のとき、

(14) 式の計算値はそれを

れ 0.057 及び 0.074

である。従がって、例えば

$T_* \bar{U} / H$  を 50 ~ 100 程度

になると  $C(T_*)_{ob} / C(0)$  は

0.1 となることが期待され、

$$\sqrt{C(T_*)_{ob}} \leq 0.3 \cdot \sqrt{U^2} = 0.3 \left( \frac{U^2}{D} \right)^{1/2}$$

となるから、 $\sqrt{U^2} / \bar{U}$  の値がわかれば、測定値の真の  $\bar{U}$  に対する誤差の割合が知れる。

図-6 に  $Z/H$  と  $\sqrt{U^2} / \bar{U} \cdot (\bar{U} / U_*)^{1/2}$  の

関係を示す。今本の研究<sup>11)</sup>によれば

それの強度は図-6 の表示が莫の散ら

ばりが少く、最もすぐれているよう

である。図中の実線で囲まれた領域

は、今本の整理した結果がほゞま

る範囲である。筆者等の測定値はそ

れよりバラツキが大きいが、これは

$\bar{U}$  の測定が水深方向に不均一が多く

$U^2$  の精度が良くなつたためと思われ

る。河床が rough なとき流速分布

は次の様に書ける。

$$\bar{U} / U_* = 5.75 \log_{10} \frac{z}{k_s} + A_r$$

又、今本によると

$$\sqrt{U^2} / \bar{U} = f\left(\frac{z}{H}\right) \cdot \left(\frac{\bar{U}}{U_*}\right)^{-\frac{2}{3}}$$

である。 $f\left(\frac{z}{H}\right)$  は普遍関数

$$f\left(\frac{z}{H}\right) \leq 1 \text{ とし}, z = 10 k_s$$

$A_r = 6.25$  とすると  $\sqrt{U^2} / \bar{U} \leq 0.19$  となり、図-5 に於ける考察から  $T_* \bar{U} / H = 50 \sim 100$  とすれば、

$$\sqrt{C(T_*)_{ob}} \leq 0.06 \bar{U} \text{ となることが期待できる。}$$

参考文献：(1) 今本博健 土木学会関西支部年譲 44 年 4 月 II-34

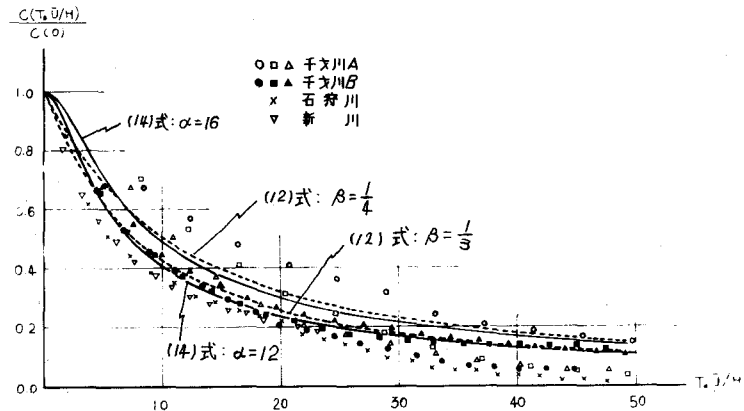


fig-5

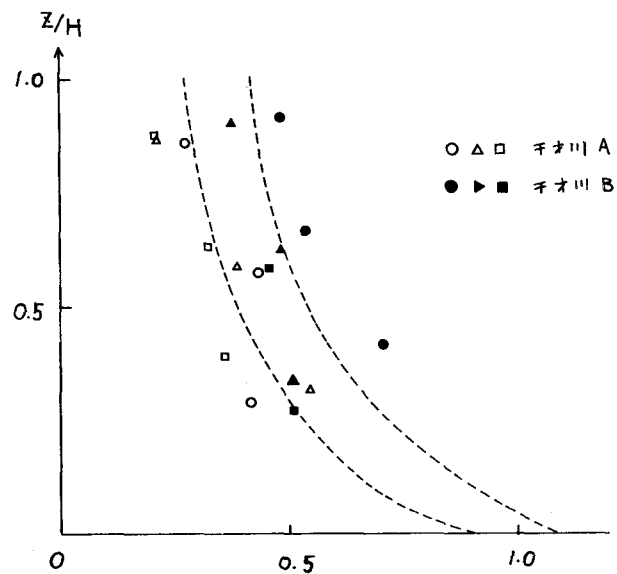


fig-6